

ستنتز نانوساختارهای هیدروکسید لایه‌ای دوگانه برای جذب رنگ بلور ویولت از محلول‌های آبی

احمد رئیسی وانانی^۱، سعید اسدپور^{۲*}، نرگس سرمست^۳ و معصومه کوراوند^۴

۱. دانشجوی کارشناسی ارشد شیمی تجزیه، گروه شیمی، دانشکده علوم پایه، دانشگاه شهرکرد، شهرکرد، ایران.
۲. استادیار شیمی تجزیه، گروه شیمی، دانشکده علوم پایه، دانشگاه شهرکرد، شهرکرد، ایران.
۳. دکتری شیمی آلی، گروه شیمی، دانشکده علوم پایه، دانشگاه شهرکرد، شهرکرد، ایران.
۴. دکتری شیمی تجزیه، گروه شیمی، دانشکده علوم پایه، دانشگاه شهرکرد، شهرکرد، ایران.

دریافت: بهمن ۱۴۰۰ بازنگری: مرداد ۱۴۰۱ پذیرش: شهریور ۱۴۰۱



10.30495/JACR.2022.1951080.2015



20.1001.1.17359937.1401.16.3.2.8

چکیده

وجود رنگ بلور ویولت در پساب صنایع متفاوت، افزون بر آلودگی محیط‌بست، می‌تواند موجب بروز بیماری‌های متفاوتی در انسان و سایر موجودات شود. براین‌باشد، پژوهش در زمینه حذف و یا تخریب این آلاینده لازم به‌نظر می‌رسد. در پژوهش حاضر، کارایی هیدروکسیدهای لایه‌ای دوگانه اصلاح‌شده با سدیم‌دودسیل سولفات (LDH/SDS) به عنوان جاذب در حذف این آلاینده مطالعه شد. پس از ستنتز جاذب و شناسایی آن با روش‌های پراش پرتو ایکس (XRD)، طیف‌سنجی فروسرخ تبدیل فوریه (FTIR) و میکروسکوپی الکترونی روبشی (SEM)، تأثیر عامل‌هایی مانند pH، زمان تماس و غلظت اولیه آلاینده با استفاده از طراحی آزمایش بررسی شد. برای یافتن بهترین مدل هم‌دمای داده‌های جذب، معادله‌های لانگمویر، فرونالیج و تمکین ارزیابی شدند. برآش داده‌ها با مدل‌های سینتیکی شبیدرجه اول، شبیدرجه دوم و نفوذ بین‌ذره‌ای صورت گرفت و پس از استخراج عامل‌های سینتیکی، بهترین مدل سینتیکی معرفی شد. نتیجه‌های به دست آمده از طراحی آزمایش و تحلیل آماری آن‌ها، اعتبار معادله درجه دوم به دست آمده را تأیید کرد. بررسی داده‌ها با استفاده از مدل‌های هم‌دما سینتیکی نشان داد جذب بلور ویولت بر جاذب (LDH/SDS) از مدل هم‌دما لانگمویر و مدل سینتیکی شبیدرجه دوم پیروی می‌کند.

واژه‌های کلیدی: هیدروکسید لایه‌ای دوگانه کلسیم-آلومینیم-سدیم‌دودسیل سولفات، بلور ویولت، طراحی آزمایش

آریل متان از رنگ‌های پرکاربرد در صنایع متفاوت هستند [۱]

و [۲]. بلور ویولت، از دسته رنگ‌های تری‌آریل متان است که به‌طور گسترده در صنایع نساجی، کاغذ، چرم، لوازم آرایشی و شامل دی‌آریل متان، آمینوتتری‌آریل متان و هیدروکسی‌تری-

مقدمه

خانواده رنگ‌های آریل متان مشتق شده از ترکیب متان،

بلور ویولت و مالاشیت گرین از محلول‌های آبی بهره گرفتند [۱۳]. فعالیت فتوکاتالیستی چندسازه هیدروکسید لایه دوگانه روی-آلومینیم-کربن فعال و روی-کروم-کربن فعال در زمینه تخریب آلاینده‌های آکریدین نارنجی، مالاشیت گرین، بلور ویولت، قرمز کنگو و میل اورانٹ از محلول‌های آبی در سال ۲۰۱۶ توسط علی‌خان و همکارانش گزارش شد. عملکرد این چندسازه، تخریب ۹۰ درصدی آلاینده‌های مذکور بود [۱۴]. با توجه به تنوع کاتیون‌های دو و سه‌ظرفیتی در ساختار لایه‌ها و همچنین، قابلیت تعویض آنیون‌های بین-لایه‌ای، این ترکیب‌ها می‌توانند به عنوان جاذب‌هایی ارزان و در دسترس با تنوع ساختاری بالا در حذف آلاینده‌ها استفاده شوند. براین‌پایه، در پژوهش حاضر از هیدروکسید لایه‌ای دوگانه کلسیم-آلومینیم اصلاح شده با ترکیب سدیم‌دودسیل سولفات به عنوان جاذب در حذف رنگ بلور ویولت از محلول‌های آبی استفاده شد.

بخش تجربی

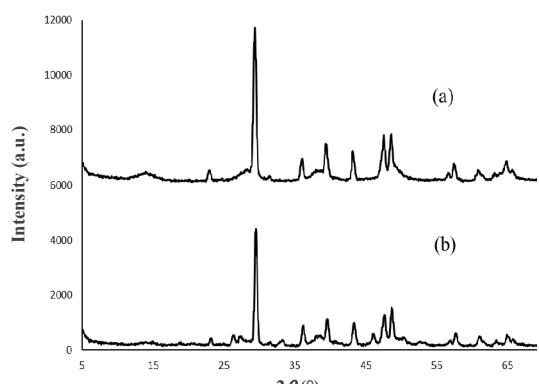
جادب هیدروکسیدهای لایه‌ای دوگانه به سادگی و با استفاده از روش‌های متنوعی در آزمایشگاه سنتز می‌شوند. عمومی‌ترین روش سنتز این جاذب‌ها در آزمایشگاه، روش هم‌رسوبی شیمیابی است [۱۰ و ۱۳]. در این روش محلول از کاتیون‌های موردنظر و آنیون بین‌لایه‌ای، در محیط قلیابی تحت همزدن قرار می‌گیرد. قرارگیری کاتیون‌ها در ساختار لایه‌ای به همراه مولکول‌های آب و گروه‌های هیدروکسیل و امکان استفاده از آنیون‌های متفاوت در فضای بین‌لایه‌ای، منجر به ساخت جاذبی با سطح ویژه به نسبت بالا با ویژگی فیزیکی و شیمیابی متنوع می‌شود [۱۳]. در این پژوهش به منظور تهیه جاذب، دو محلول A و B تهیه شدند. محلول A شامل ۰/۰۳ مول کلسیم نیترات به همراه ۰/۰۱ مول آلمینیوم نیترات (نسبت ۱:۳) در ۱۰۰ میلی‌لیتر آب یون‌زدوده و محلول B شامل ۰/۰۰۲ مول سدیم‌دودسیل سولفات در

بهداشتی و صنایع دارویی استفاده می‌شود. این رنگ زیست‌تخریب‌پذیر نیست و برای مدت طولانی در محیط‌زیست باقی می‌ماند. وجود این آلاینده در پساب صنایع، افزون بر آلدگی محیط‌زیست، می‌تواند موجب بروز اثرهای جهش‌زایی و سلطان در انسان و سایر موجودات شود [۳]. حذف رنگ از محلول‌های آبی با روش‌های متفاوتی انجام می‌شود. روش جذب به عنوان روشی ساده، مقرن به صرفه و انعطاف‌پذیر یکی از متدائل‌ترین روش‌های حذف آلاینده از محلول‌ها است، بهویژه اگر جاذب‌های ارزان و در دسترس باشد [۴]. حذف رنگ بلور ویولت با جاذب‌های متفاوتی گزارش شده است. برای مثال، می‌توان به نانولوله‌های کربنی چنددیواره اصلاح شده [۵]، نانومیله‌های اکسید روی بارگذاری شده بر کربن فعال [۶]، زیست چندسازه هسته انبه [۷]، چندسازه بنتونیت-آلزینات [۸]، نانوذره‌های نقره تشییت-شده بر کربن فعال [۹] و نانوذره‌های مغناطیسی $\text{Fe}_3\text{O}_4/\text{SiO}_2$ [۱۰] اشاره کرد. هیدروکسیدهای لایه‌ای دوگانه ترکیب‌هایی با ویژگی فیزیکی و شیمیابی متنوع هستند. ساختار لایه‌ای بی‌همتای این ترکیب‌ها آن‌ها را آماده داشتن ویژگی‌های مفیدی چون چگالی بار مغایر، قابلیت تورم در آب و تغییر فضای بین‌لایه‌ای با استفاده از تبادلات یونی بین‌لایه‌ای می‌کند. فرمول کلی این ترکیب‌ها به صورت $[\text{M}_{1-x}^{2+}\text{M}_x^{3+}(\text{OH})_2(\text{A}^{\text{n}-})_{x/n}]^{x+} \cdot \text{mH}_2\text{O}$ است که در آن M^{2+} کاتیونی دو ظرفیتی، M^{3+} کاتیون‌های سه‌ظرفیتی و $\text{A}^{\text{n}-}$ آنیون‌های بین‌لایه‌ای هستند [۱۱]. در سال ۲۰۱۶ تان و همکارانش هیدروکسید لایه‌ای دوگانه منیزیم-آلومینیم نشانده شده بر بایوچار^۱‌های گیاهی را به عنوان جاذب در حذف رنگ بلور ویولت از محلول‌های آبی به کار برداشتند [۱۲]. در سال ۲۰۱۸ جورج و همکارانش از چندسازه هیدروکسیدهای لایه‌ای دوگانه روی-آلومینیم-نانوکربن برای حذف رنگ‌های

1. Biochar

نتیجه‌ها و بحث شناسایی جاذب

الگوی XRD ساختار بلوری جاذب LDH با کربنات بین‌لایه‌ای^۳ و LDH با دودسیل سولفات بین‌لایه‌ای^۴ در شکل ۱ نشان داده شده است. همان‌طور که مشاهده می‌شود الگوی Ca-Al-CO_3 پیک‌هایی در زوایای ۲۹، ۳۶ و ۳۶ نشان می‌دهد که با صفحه‌های ۰۰۳، ۰۰۶ و ۰۰۹ همخوانی دارد. LDH با دودسیل سولفات بین‌لایه‌ای پیک‌هایی در زوایای کوچک‌تر نشان می‌دهد که نشان‌دهنده افزایش فاصله بین‌لایه‌ای با واردشدن دودسیل سولفات است. برپایه معادله براگ با افزایش فاصله بین‌لایه‌ای، زاویه نمایانشده در الگوی پرتو ایکس کاهش می‌یابد.



شکل ۱ الگوهای پرتو ایکس (a) $\text{Ca/Al/CO}_3\text{-LDH}$ و (b) Ca/AL/SDS-LDH

طیف‌های FTIR ساختار بلوری جاذب LDH با کربنات بین‌لایه‌ای ۱ و LDH با دودسیل سولفات بین‌لایه‌ای ۲ در شکل ۲ نشان داده شده است. طیف FTIR جاذب Ca-Al-CO_3 دارای پیکی در 1423cm^{-1} است که مربوط به ارتعاش کربنات بین‌لایه‌ای است. همچنین، پیک پهن در 3421cm^{-1}

۱۰۰ میلی‌لیتر آب یون‌زدوده بود. سپس محلول A به صورت قطره‌قطره به محلول B که روی همزن مغناطیسی با سرعت ملایم همزده می‌شد، افزوده شد. سپس محلول سدیم هیدروکسید یک مولار و سدیم کربنات 0.3 مولار به صورت قطره‌قطره به محلول حاوی A و B که با دور شدید همزده می‌شد، افزوده شد، تا جایی که pH محلول برابر با ۱۰ شد و عمل رسوب‌کردن اتفاق افتاد. تعییقه به دست‌آمده به مدت ۱۸ ساعت در دمای 60°C همزده شد. رسوب به دست‌آمده پس از جداسازی و شستشو به گونه‌ای که pH محلول زیر صافی خشی شود، به مدت ۱۸ ساعت در آون با دمای 80°C خشک شد.

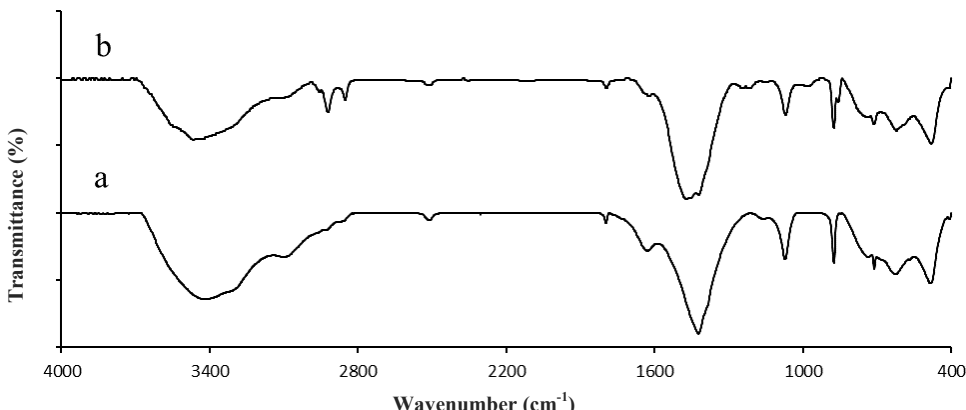
برای طراحی آزمایش از بهینه‌سازی به روش سطح پاسخ^۱ با طرح فاکتوریل مرکزی^۲ استفاده شد. سه عامل غلظت آلاینده، مدت زمان تماس و pH بررسی شدند.

همه آزمایش‌ها در دما و حجم ثابت (25°C و 50°C) انجام شد. جداسازی جاذب از نمونه با دستگاه گریزانه (مدل Armaghan Teb Iranian) با سرعت 3500 rpm دور در دقیقه انجام شد. برای تنظیم pH، از محلول‌های هیدروکلریک اسید و سدیم هیدروکسید استفاده شد و با دستگاه pH متر (ZAG CHEME PTR79) اندازه‌گیری شد.

غلظت رنگ بلور ویولت با داده‌های دستگاه طیف‌نورسنج (مدل Ultrospec3100) در طول موج 590 nm انداخته شد. مقدار همخوانی داده‌ها با مدل‌های هم‌دمای لانگمویر، فرونولیچ و تمکین و همچنین، مدل‌های سیستیکی شبیه‌مرتبه اول و شبیه‌مرتبه دوم و نیز نفوذ بین‌ذرای برسی شد. با رسم نمودار بازده حذف در داماهای متفاوت، ترمودینامیک فرایند حذف بررسی و عامل‌های ترمودینامیکی آن استخراج شد.

cm^{-1} مربوط می‌شود. دو پیک پدیدارشده در ۲۸۵۲ و ۲۹۲۲ نیز مربوط به ارتعاش‌های گروه هیدروکربنی CH_2 است که در زنجیره دودسیل سولفات وجود دارد.

Ca-Al-FTIR نمونه O-H مربوط به پیوند SDS پیکی در ۱۴۷۲ cm^{-1} دارد که به ارتعاش‌های کربنات مربوط است. دو پیک پدیدارشده در ۱۰۶۹ cm^{-1} و در حدود ۱۲۱۷ cm^{-1} به ترتیب به فرکانس‌های نامتقارن و متقارن

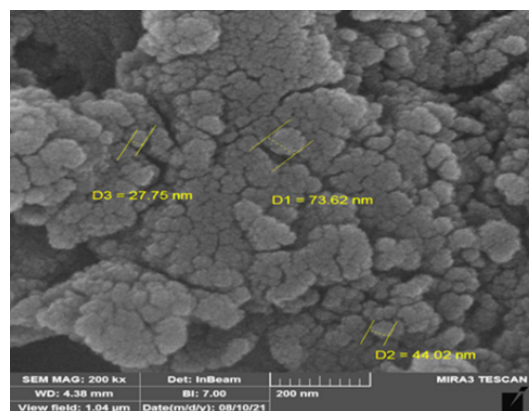


شکل ۲ طیف‌های FTIR نمونه‌های Ca-Al-SDS و Ca-Al-CO₃

این تصویر به خوبی نشان می‌دهد که ساختار بلوری هیدروکسید لایه‌ای دوگانه تشکیل شده است. ولی به دلیل روش سنتز مورد استفاده در این پژوهش که روش همرسوبی بوده است ساختار از ریخت‌شناسی ویژه‌ای پیروی نمی‌کند. در این تصویر، اندازه ذره‌ها به صورت میانگین ۴۸ نانومتر تخمین زده شده است.

بهینه‌سازی عامل‌ها به کمک طراحی آزمایش Ca/Al/SDS- LDH بررسی جذب رنگ بلور ویولت با جاذب- LDH به کمک طراحی آزمایش به روش طراحی مکعب مرکزی با درنظر گرفتن سه متغیر pH محلول (X_1)، غلظت اولیه رنگ (X_2) و زمان تماس (X_3) (min) (ppm) به عنوان متغیرهای مستقل و درصد حذف (R%) به عنوان متغیر واکسته انجام شد. عامل‌ها و سطوح تعیین شده آن‌ها در جدول ۱ آورده شده است. براین‌پایه، ۲۰ آزمایش با شرایط ارائه شده در جدول ۲ طراحی و اجرا شد. افزون بر مقایسه مقادیر

ریخت‌شناسی و ویژگی‌های سطحی جاذب Ca/Al/SDS-LDH با میکروسکوپ الکترونی روبشی (SEM) بررسی شد. تصویر به دست آمده از سطح جاذب در شکل ۳ نشان داده شده است.



شکل ۳ تصویر میکروسکوپ الکترونی روبشی

جدول ۲ ماتریس طراحی آزمایش به دست آمده از روش
طراحی مکعب مرکزی

درصد جذب	زمان تماس (دقیقه)	غلظت آنالیت (ppm)	pH	آزمایش
۹۶,۳	۹۰	۱۰۰	۴	۱
۶۸,۱	۹۰	۲۰۰	۴	۲
۹۸,۰	۱۲۰	۵۰	۶	۳
۸۵,۶	۶۰	۱۵۰	۶	۴
۸۶,۷	۱۲۰	۱۵۰	۱۰	۵
۹۴,۹	۱۲۰	۱۵۰	۶	۶
۹۷,۱	۱۵۰	۱۰۰	۸	۷
۹۵,۷	۱۲۰	۱۵۰	۶	۸
۷۸,۱	۱۵۰	۲۰۰	۸	۹
۹۵,۵	۱۲۰	۱۵۰	۶	۱۰
۹۵,۶	۱۲۰	۱۵۰	۶	۱۱
۹۶,۶	۱۵۰	۱۰۰	۴	۱۲
۸۳,۷	۱۲۰	۱۵۰	۲	۱۳
۹۶,۹	۹۰	۱۰۰	۸	۱۴
۹۷,۲	۱۲۰	۱۵۰	۶	۱۵
۶۹,۵	۹۰	۲۰۰	۸	۱۶
۵۰,۲۲	۱۲۰	۲۵۰	۶	۱۷
۹۳,۷	۱۸۰	۱۵۰	۶	۱۸
۹۵,۶	۱۲۰	۱۵۰	۶	۱۹
۷۵,۲	۱۵۰	۲۰۰	۴	۲۰

پیش‌بینی شده با نتیجه‌های تجربی، هم‌دما، سینتیک و عامل‌های ترمودینامیکی فرایند جذب نیز بررسی شدند.

جدول ۱ عامل‌ها و سطوح تعیین شده آن‌ها

سطح متغیرها					عامل‌ها	کلید
+α	۱	۰	-۱	-α		
۱۰	۸	۶	۴	۲	X ₁	pH
۲۵۰	۲۰۰	۱۵۰	۱۰۰	۵۰	X ₂	غلظت آنالیت
۱۸۰	۱۵۰	۱۲۰	۹۰	۶۰	X ₃	زمان تماس

معادله زیر پیش‌بینی درصد حذف رنگ بلور ویولت با جاذب Ca-Al-SDS منتج شده از طراحی آزمایش است.

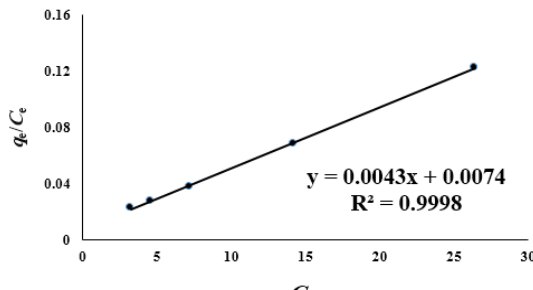
$$Y = ۹۵,۴۶ + ۰,۷۱۷۳X_1 - ۱۱,۹۶X_2 + ۲,۰۲X_3 + ۰,۳۹۸۴X_1X_2 + ۰,۱۷۴۶X_1X_3 + ۱,۹X_2X_3 - ۲,۷۶X_1^2 - ۵,۵۴X_2^2 - ۱,۶۶X_3^2$$

در این معادله، Y درصد حذف رنگ بلور ویولت، X₃, X₂, X₁ به ترتیب pH، غلظت رنگ و زمان تماس هستند. برای معرفی بهترین مدل هم‌دما در جذب رنگ بلور ویولت بر Ca-Al-SDS، هم‌دماهای لانگمویر، فروندلیچ و تمکین بررسی شدند. معادله‌های این هم‌دماها و عامل‌های آن‌ها در جدول ۳ آورده شده است [۱۵].

جدول ۳ معادله‌های هم‌دماهای بررسی شده و عامل‌های مربوط به آن‌ها

عامل‌های مربوط	معادله ایزووترم	نوع ایزووترم
C _e : مقدار آنالیت باقی‌مانده در محلول پس از جذب q _e : مقدار آنالیت جذب شده در شرایط تعادل q _{max} : بیشینه ظرفیت جذب به وسیله جاذب b: ثابت لانگمویر	c _e /q _e = (1/q _{max}) c _e + (1/bq _{max})	لانگمویر
K _f : شاخص ظرفیت جذب n: شاخص شدت جذب	ln q _e = ln k _f + (1/n) ln C _e	فروندلیچ
B: ثابت تمکین A: ثابت پیوندی، نشان‌دهنده بیشینه انرژی پیوندی	q _e = B ln A + B ln C _e	تمکین

نمودار هم‌دما لانگمویر به همراه معادله خط و ضریب تعیین در شکل ۴ آورده شده است.



شکل ۴ نمودار هم‌دما لانگمویر در جذب بلور ویولت بر Ca/Al/SDS-LDH

سینتیک فرایند جذب از دیگر عوامل مورد توجه در فرایند جذب است. براین‌پایه، سینتیک فرایند جذب رنگ بلور ویولت بر جاذب Ca/Al/SDS-LDH، با استفاده از محلولی از رنگ با غلظت ۱۵۰ میلی‌گرم بر لیتر و pH برابر ۶ در مدت ۱۲۵ دقیقه بررسی شد. برای معرفی بهترین مدل سینتیکی، مقادیر به دست آمده از آزمایش، با مدل‌های سینتیکی شبه‌درجه اول، شبه‌درجه دوم و نفوذ بین‌ذرهای انطباق داده شد. معادله‌های این مدل‌ها و عامل‌های مربوط به آن‌ها در جدول ۵ آورده شده است [۱۶].

مقادیر ضرایب تعیین (R^2) برای مدل‌های سینتیکی شبه درجه اول، شبه‌درجه دوم و نفوذ بین‌ذرهای به ترتیب برابر با ۰.۹۶ و ۰.۷۷ و ۰.۹۹۸۹ هستند (جدول ۵). بر این اساس همخوانی داده‌ها با مدل سینتیکی شبه‌درجه دوم نسبت به سایر مدل‌های موربررسی بیشتر بود و این مدل، به عنوان مدل سینتیکی غالب در فرایند جذب در نظر گرفته شد. نمودار این مدل سینتیکی به همراه معادله خط و ضریب تعیین در شکل ۵ آورده شده است.

نتیجه‌های استخراج شده از بررسی هم‌دماهای فرایند جذب که در جدول ۴ آورده شده است نشان می‌دهد ضریب تعیین نمودار به دست آمده از داده‌های تجربی برای مدل هم‌دما لانگمویر به یک نزدیک‌تر است. بر این پایه، این مدل هم‌دما به عنوان مدل هم‌دمای غالب در فرایند جذب رنگ بلور ویولت بر جاذب Ca-Al-SDS معرفی شد.

جدول ۴ مقادیر به دست آمده از بررسی هم‌دماهای جذب بلور ویولت بر Ca/Al/SDS-LDH

جاذب	عامل	ایزوتوپ
Ca-Al-SDS	$q_{\max}(\text{mg/g})$	لانگمویر
۲۳۲/۵۶	R^2	
.۹۹۹۸	R_L	
.۰۰۲۴	$b(\text{l/mg})$	
۱۲۶	$K_F((\text{mg/g})/(\text{mg/l}))$	فروندلیج
.۰۷۷۴	$1/n$	
۲.۱۱	n	
.۸۹۴۳	R^2	
.۹۹	a	تمکین
-۰.۶۷	b	
.۹۲۴۴	R^2	

بررسی‌ها نشان می‌دهد مقدار همخوانی این داده‌ها با مدل هم‌دما لانگمویر بیشتر از سایر مدل‌های موربررسی است. مشابه این نتیجه در پژوهش‌های دیگری در حذف بلور ویولت با جاذب هیدروکسیدهای لایه‌ای دوگانه گزارش شده است [۱۳ و ۱۸]. این نتیجه به متزله ردکردن مدل هم‌دما فروندلیج نیست. برای مثال، نتیجه‌های پژوهش‌تان و همکارانش در جذب بلور ویولت بر جاذب هیدروکسید لایه‌ای دوگانه نشان داد داده‌های تجربی جذب با هم‌دما فروندلیج همخوانی بیشتری دارد که با نتیجه‌های به دست آمده از پژوهش حاضر، مغایرت نشان می‌دهد [۱۲].

جدول ۵ معادله‌ها و عامل‌های مدل‌های سینتیکی موردبررسی

نوع مدل	معادله	عامل‌های مربوطه
شبهمرتبه اول	$\log(q_e - q_t) = \log q_e - (k_p/2.303)t$	(mg/g) q_e = مقدار آنالیت جذب شده در زمان تعادل (mg/g) t = مقدار آنالیت جذب شده در زمان (min ⁻¹) k_{p1} = ثابت سرعت شبهمرتبه اول
شبهمرتبه دوم	$t/q_t = 1/k_{p2}q_e^2 + (1/q_e)t$	(min ⁻¹) k_{p2} = ثابت سرعت شبهمرتبه دوم
نفوذ بین ذرهای	$q_t = k_{int}t^{1/2}$	k_{int} = ثابت سرعت نفوذ درون ذره است

حذف بلور ویولت با جاذب هیدروکسیدهای لایهای دوگانه اصلاح شده با سدیم دودسیل سولفات نشان داد اثر افزایش دما بر مقدار جذب، یک اثر افزایشی است. با استفاده از داده‌های مقدار حذف رنگ با افزایش دما و رسم نمودار وانت هو夫، عامل‌های ترمودینامیکی فرایند حذف محاسبه شد که نتیجه‌های آن در جدول ۷ آورده شده است.

بررسی عامل‌های ترمودینامیکی فرایند جذب نشان داد فرایند جذب بلور ویولت بر جاذب Ca/Al/SDS-LDH خودبهخودی، گرمائیر و با کاهش بین‌نظمی همراه است (تغییرهای انرژی آزاد گیبس منفی و تغییرهای آنتالپی و آنتروپی مثبت).

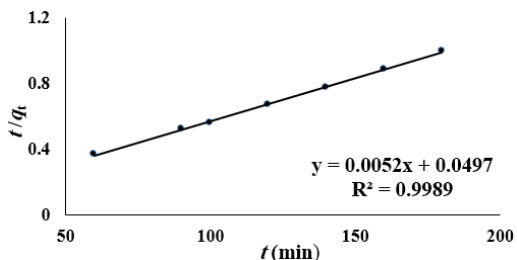
جدول ۷ عامل‌های ترمودینامیکی جذب بلور ویولت بر جاذب Ca/Al/SDS-LDH

R ²	ΔS (kJ mol ⁻¹ K ⁻¹)	ΔH (kJ mol ⁻¹)	ΔG × 10 ³ (kJ mol ⁻¹)	T (°C)
0,9934	۱۹۸,۱۵۵۹	۲۹,۳۳۵۱	-۵۸,۰۶۰۰	۲۰
			-۶۰,۰۴۱۶	۳۰
			-۶۲,۰۲۲۲	۴۰
			-۶۴,۰۵۰۰	۵۰

بررسی سینتیک فرایند جذب نشان داد سینتیک جذب رنگ بلور ویولت بر جاذب Ca/Al/SDS-LDH با مدل سینتیکی شبهمرتبه دوم ($R^2 = 0,999$) همخوانی بهتری دارد. این نتیجه برای جذب بلور ویولت بر انواع جاذب‌ها در پژوهش‌های دیگری نیز گزارش شده است [۱۹ و ۲۰].

جدول ۶ عامل‌های مرتبط با سینتیک جذب بلور ویولت با جاذب Ca-Al-SDS

جاذب	شبهمرتبه اول			شبهمرتبه دوم			نفوذ بین ذره
	R ²	C	k _p	R ²	k ₂	q _e	
Ca-Al-SDS	0,77	۱۴۱,۳۷	۳/۲	0,۹۹۸۹	۰,۰۰۰۵	۱۹۲,۳۰	۰,۹۶۰,۰۴۱۲۲۱,۰



شکل ۵ نمودار مدل سینتیکی شبهدوجه دوم در جذب بلور ویولت بر جاذب Ca/Al/SDS-LDH

نتیجه‌های تحلیل وردایی (ANOVA) برای الگوی تحلیل وردایی (ANOVA) در جدول ۸ آورده شده است. درجه اهمیت هر متغیر با دو عامل F و P تعیین می‌شود. عامل P نشان‌دهنده

در آزمایش‌های جذب وابسته به دما، ΔH و ΔG با معادله وانت هو夫 محاسبه می‌شود [۱۷]. ΔS و ΔH به ترتیب با شبیه و عرض از مبدأ نمودار ln k نسبت به ۱/T قابل محاسبه است [۱۸]. بررسی اثر افزایش دما بر درصد

نشریه پژوهش‌های کاربردی در شیمی (JARC)

حذف بلور ویولت در پژوهش حاضر، نشان‌دهنده معتبربودن معادله درجه دوم به دست آمده است. از دیگر عامل‌های آماری در برآذش یک مدل $R^2 = 0.993$ است. مقادیر به دست آمده برای این عامل‌ها در مدل طراحی شده به ترتیب برابر با 0.996 و 0.990 است که نشان‌دهنده دقت بالا برای این مدل است.

مقدار معناداری یک متغیر است. براین‌پایه، عبارت‌هایی که مقدار P آن‌ها کمتر از 0.05 باشند، معنادار هستند. همچنین، عامل F نشان‌دهنده انحراف داده از مقدار میانگین است. در این طراحی همه عبارات موجود مقادیر P کمتر از 0.05 را نشان دادند که گویای معناداربودن آن‌ها است. نقص برآذش یکی دیگر از عامل‌های مهم است که مجموع مربع‌های باقی‌مانده است [۱۹]. بی‌معنی‌بودن مقدار عدم‌تناسب برای

جدول ۸ نتیجه‌های تحلیل وردایی

	P مقدار	F مقدار	میانگین مربع‌ها	درجه آزادی	مجموع مربع‌ها	منبع
با معنی	<0.0001	۲۹۰,۷۷	۳۵۹,۱۱	۹	۳۲۳۱,۹۸	مدل
	۰,۰۲۷۳	۶,۶۷	۸,۲۳	۱	۸,۲۳	X_1
	<0.0001	۱۸۵۴,۱۹	۲۲۸۹,۹۸	۱	۲۲۸۹,۹۸	X_2
	<0.0001	۵۳,۰۶	۶۵,۵۲	۱	۶۵,۵۲	X_3
	۰,۳۳۴۵	۱,۰۳	۱,۲۷	۱	۱,۲۷	X_1X_2
	۰,۶۶۶۲	۰,۱۹۷۵	۰,۲۴۴	۱	۰,۲۴۴	X_1X_3
	۰,۰۰۰۷	۲۳,۲۷	۲۸,۷۴	۱	۲۸,۷۴	X_2X_3
	<0.0001	۱۵۵,۴۹	۱۹۲,۰۴	۱	۱۹۲۰,۴	X_1^2
	<0.0001	۶۲۴,۶۶	۷۷۱۶۹,۴۸	۱	۷۷۱۶۹,۴۸	X_2^2
	<0.0001	۵۵,۸۷	۱,۲۴	۱	۶۹	X_3^2
			۱,۸۷	۱۰	۱۲,۳۵	باقی‌مانده
بی معنی	۰/۱۱۸۹	۳/۱۲	۰,۵۹۹۹	۵	۹,۳۵	نقص برآذش
				۵	۳	خطای خاص
				۱۹	۳۲۴۴,۳۳	مجموع

نمودارها نشان می‌دهد با افزایش pH و زمان تماس، درصد حذف افزایش می‌پابند درحالی که اثر افزایش غلظت رنگ بر درصد حذف، یک اثر کاهشی است. برپایه این نمودارها، بالاترین درصد حذف رنگ در pH ۶ غلظت ۵۰ ppm و زمان ۱۲۰ min به دست می‌آید. تأثیر مشبت افزایش pH بر درصد حذف بلور ویولت در پژوهش‌های مشابه دیگر نیز گزارش شده است.

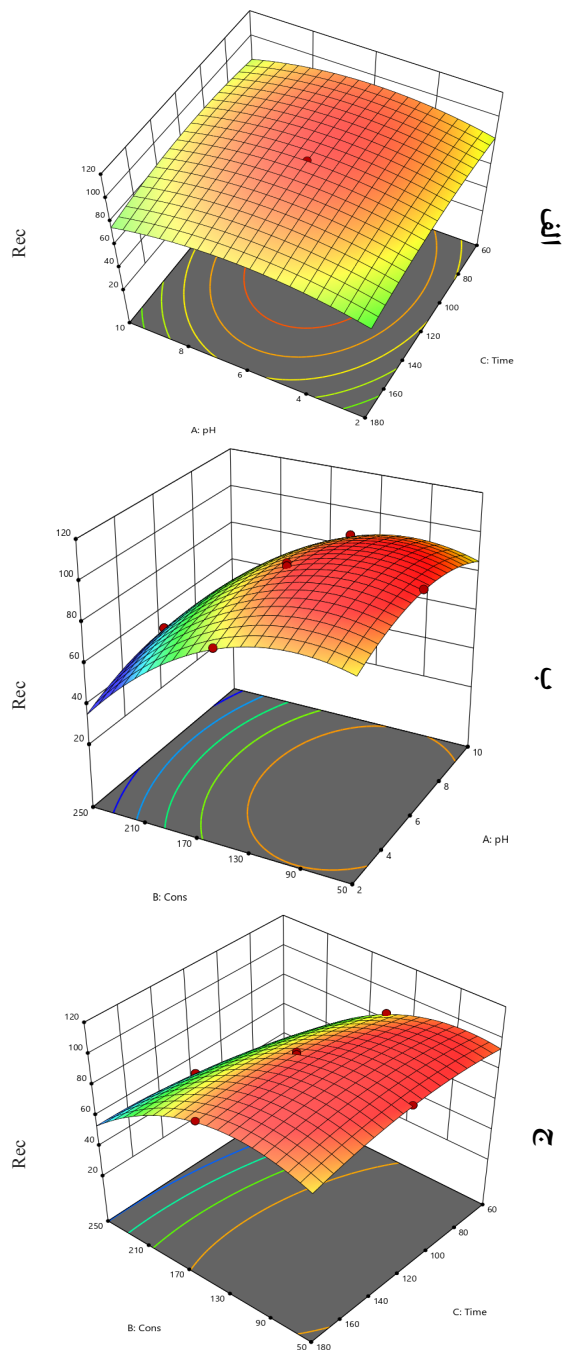
نمودارهای سه‌بعدی سطح پاسخ از دیگر منابع کاربردی در توصیف آزمایش‌های طراحی شده با طرح فاکتوریل مرکزی، نمودارهای سه‌بعدی سطح پاسخ است که برای تحلیل تأثیر عامل‌های متفاوت بر واکنش استفاده می‌شود.

شکل ۶ نمودارهای سه‌بعدی سطح پاسخ در بالاترین درصد برای توصیف واکنش جذب بلور ویولت بر هیدروکسیدهای لایه‌ای دوگانه اصلاح شده با سدیم دودسیل سولفات را نشان می‌دهد.

در پژوهش مالکی و همکارانش، pH بهینه در جذب بلور ویولت با استفاده از ریمالهای سدیم دودسیل سولفات پوشش داده شده با نانوذرهای مغناطیسی $\text{Fe}_3\text{O}_4/\text{SiO}_2$ برابر با pH ۶ گزارش شد [۱۰]. تان و همکارانش بدون گزارش دادن یک pH ویژه، این اثر افزایشی را تأیید کردند [۱۲] pH در حالی که جورج و همکارانش، pH برابر با ۹ را به عنوان pH بهینه در جذب بلور ویولت بر $\text{Zn}/\text{Al-LDH}$ پوشش داده شده با کربن گزارش کردند [۱۳]. اثر افزایشی بالارفتن زمان تماس بر درصد حذف و اثر کاهشی درنتیجه افزایش غلظت آلائیند نیز در این پژوهش‌ها تأیید شده است.

نتیجه‌گیری

با توجه به تحلیل نتیجه‌های به دست آمده از طراحی آزمایش و بررسی عامل‌های مؤثر بر حذف رنگ بلور ویولت با جاذب $\text{Ca}/\text{Al-SDS-LDH}$ به طور کلی با تنظیم pH بر ۶ و مدت ۱۲۰ دقیقه مقدار درصد جذب بسیار خوبی را مشاهده کردیم. با کاهش غلظت اولیه به ۵۰ ppm مقدار درصد جذب درصد به دست آمد و غلظت حدود ۹۸ ppm نیز ۹۶ درصد جذب به همراه داشت. این جاذب در شرایط بهینه pH برابر با ۶ دمای محیط و مدت ۱۲۵ دقیقه توانست در غلظت ۱۵۰ میلی گرم بر لیتر از رنگ ۹۴ درصد رنگ را از محلول آبی حذف کند که بیشینه مقدار ظرفیت جذب به دست آمده در مدل هم‌دامای لانگمویر برای جاذب هیدروکسید لایهای دوگانه اصلاح شده با سدیم دودسیل سولفات، ۲۳۲/۵۶ میلی گرم بر گرم به دست آمد. قرار گرفتن سدیم دودسیل سولفات در بین لایهای هیدروکسید لایهای دوگانه موجب افزایش فاصله بین لایهای و بالابردن ظرفیت جذب شد. بررسی سینتیک و ترمودینامیک واکنش جذب نشان داد افرون براینکه داده‌ها از مدل سینتیکی شبه درجه دوم پیروی بیشتری دارند، جاذب- $\text{Ca}/\text{Al-SDS-LDH}$ می‌تواند در یک فرایند جذب خودبه‌خودی در تصفیه پساب حاوی رنگ بلور ویولت به کار گرفته شود.



شکل ۶ تأثیر عامل‌های pH و غلظت (الف)، تأثیر عامل‌های زمان (ب) و تأثیر عامل‌های زمان و غلظت (ج) بر فرایند جذب بلور ویولت در حضور جاذب $\text{Ca}/\text{Al-SDS-LDH}$

است و لازم است از دانشگاه شهرکرد به دلیل کمکهای مادی و معنوی برای انجام این مطالعه کمال تشکر و قدردانی را داشته باشیم.

سپاسگزاری

اطلاعات ارائه شده از کار پژوهشی صورت گرفته در گروه شیمی دانشکده علوم پایه دانشگاه شهرکرد به دست آمده

مراجع

- [1] Chaudhary, B.; Violet, T.E.; J. Interdiscipl. Cycle Res. 12, 390–396, 2020.
- [2] Bonin, A.M.; Farquharson, J.B.; Baker, R.S.U.; Mutat. Res. Toxicol. 89, 21–34, 1981.
- [3] Muthukumaran, C.; Sivakumar, V.M.; Thirumurugan, M.; J. Taiwan Inst. Chem. Eng., 63, 354–362, 2016.
- [4] Brião, G.V.; Jahn, S.L.; Foletto, E.L.; Dotto, G.L.; J. Colloid Interface Sci. 508, 313–322, 2017.
- [5] Elmoubarki, R.; Mahjoubi, F.Z.; Elhalil, A.; Tounsi, H.; Abdennouri, M.; Sadiq, M.; Qourzal, S.; A, Zouhri, A.; Barka, N.; J. Mater. Res. Technol. 6, 271–283, 2017.
- [6] Dil, E.A.; M, Ghaedi.; Ghaedi, A.; Asfaram, A.; Jamshidi, M.; Purkait, M.K.; J. Taiwan Inst. Chem. Eng. 59, 210–220, 2016.
- [7] Shoukat, S.; Bhatti, H.N.; Iqbal, M.; Noreen, S.; Microporous Mesoporous Mater. 239, 180–189, 2017.
- [8] Fabryanty, R.; J. Environ. Chem. Eng. 5, 5677–5687, 2017.
- [9] AbdEl-Salam, A.H.; Ewais, H.A.; Basaleh, A.S.; J. Mol. Liq. 248, 833–841, 2017.
- [10] Maleki, S.; Falaki, F.; Karimi, M.; J. Nanostructure Chem. 9, 129–139, 2019.
- [11] Sabna, V.; Thampi, S.G.; Chandrakaran, S.; Ecotoxicol. Environ. Saf. 134, 390–397, 2016.
- [12] Tan, X.; J. Environ. Manage. 184, 85–93, 2016.
- [13] George, G.; Saravanakumar, M.P.; Environ. Sci. Pollut. Res. 25, 30236–30254, 2018.
- [14] Khan, S.A.; Khan, S.B.; Asiri, A.M.; RSC Adv. 6, 83196–83208, 2016.
- [15] Foo, K.Y.; Hameed, B.H.; Chem. Eng. J. 156, 2–10, 2010.
- [16] Qiu, H.; Lv, L.; Pan, B.; Zhang, Q.-J.; Zhang, W.; Zhang, Q.-X.; J. Zhejiang Univ. A 10, 716–724, 2009.
- [17] Palapa, N.R.; Taher, T.; Rahayu, B.R.; Mohadi, R.; Rachmat, A.; Lesbani, A.; Bull. Chem. React. Eng. Catal. 15, 525–537, 2020.
- [18] Das, S.; Dash, S.K.; Parida, K.M.; ACS Omega. 3, 2532–2545, 2018.
- [19] Dean, A.; Voss, D.; Draguljić, D.; "Design and Analysis of Experiments", Springer, New York, 1999.
- [20] Puri, C.; Sumana, G.; Appl. Clay Sci. 166, 102–112, 2018.
- [21] Marco-Brown, J.L.; Chem. Eng. J. 333, 495–504, 2018.
- [22] Kulkarni, M.R.; Revanth, T.; Acharya, A.; Bhat, P.; Resour. Technol. 3, 71–77, 2017.

Synthesis of layered double hydroxide nanostructures for adsorption of crystal violet dye from aqueous solutions**Ahmad Raeisi¹, Saeid Asadpour^{2,*}, Narges Sarmast³, Masoumeh Kooravand⁴**

1. M.Sc. Student of Analytical Chemistry, Department of Chemistry, Faculty of Science, University of Shahrekord, Shahrekord, Iran.
2. Assistant Prof. of Analytical Chemistry, Department of Chemistry, Faculty of Science, University of Shahrekord, Shahrekord, Iran.
3. PhD of Organic Chemistry, Department of Chemistry, Faculty of Science, University of Shahrekord, Shahrekord, Iran.
4. PhD of Analytical Chemistry, Department of Chemistry, Faculty of Science, University of Shahrekord, Shahrekord, Iran.

Abstract: The presence of crystal violet dye in various industries wastewater causes environmental pollution and various diseases in humans and other organisms. Therefore, research about the elimination or destruction of this pollutant is necessary. In present study, the efficiency of layer double hydroxides modified with sodium dodecyl sulfate (LDH/SDS) as adsorbent was studied to remove this pollutant from wastewater. After synthesis of the adsorbent, it was characterized with instrumental techniques such as X-ray diffraction (XRD), Fourier transformation of infrared spectroscopy (FTIR), and scanning electron microscopy (SEM). The effect of parameters such as pH, contact time, and initial concentration was studied with experimental design. Langmuir, Freundlich, and Tamkin's equations were estimated in order to find the best isotherm model for absorption data. Experimental data were fitted with Pseudo-First-Order, Pseudo-Second-Order, and interparticle diffusion kinetic models, and the best kinetic model was presented. The validity of equation was confirmed with the results of experimental design and their statistical analysis. Analysis of the data showed that the adsorption of crystal violet on LDH/SDS follows Langmuir isotherm model and Pseudo-Second-Order kinetic model.

Keywords: Ca/Al/SDS Layered double hydroxide, Crystal Violet, Experimental design

* Corresponding author Email:
s.asadpour@sku.ac.ir